



د نري رنځ د SEIR او SVEIL رياضيکي ماډلونو د جوړښتونو پرتله

محمد حنيف تکل^۱، نورالله نوري^۲، عبدالوکيل بيدار^۳

^۱ د رياضي څانگه، ښوونې او روزنې پوهنځی، ميرويس خان نيکه لوړو زده کړو موسسه، زابل، افغانستان

^{۲،۳} د رياضياتو څانگه، د رياضياتو پوهنځی، کابل پوهنتون، کابل، افغانستان

ایمیل: mohammadhaniftakal@gmail.com

لنډيز

د ناروغيو رياضيکي ماډلونه، چې د رياضياتو له نظره د ناروغيو د خپرېدو او کنټرول ميکانيزمونه څېړي، د عامې روغتيا د پاليسي جوړونکو سره د ناروغيو د کنټرول د تگلارو په جوړولو کې مهم رول لوبوي. په دې مقاله کې د نري رنځ لپاره دوه رياضيکي ماډلونه، SEIR او SVEIL تحليل او يو له بل سره پرتله شوي دي. او د دغه ماډلونو بېلابېل اړخونه، لکه د دوی جوړښت، د ثبات تحليل، د اساسي تکثير شميرې، د متحولونو او پارامترونو توپير او د تطبيق ساحې مقايسه شوي دي. ښودل شوې چې *SVEIL* ماډل نسبت *SEIR* ته هر اړخيز او پراخ دی. په دې ماډل کې واکسين، بريالی تداوي او د ناروغي په وړاندې د معافيت له لاسه ورکولو اغېزې په پام کې نيول شوي دي او تر ډيره حده د ناروغي په هکله واقع بينانه تحليل وړاندې کوي. خو څرنگه چې جوړښت يې پراخ دی نو د ثبات تحليل او اساسي تکثير شميرې محاسبه کولو کې محاسباتي پېچلتياوې لري.

کلیدي ټکي: رياضيکي ماډلونه؛ نری رنځ؛ پرتله؛ اساسي تکثير شمېره؛ د تعادلي نقطو ثبات

Comparison of the Structures of SEIR and SVEIL Mathematical Models of Tuberculosis

Mohammad Hanif Takal¹, Noorullah Noori², Abdul Wakil Baidar³

¹Department of Mathematics, Mirwais Khan Nika Zabol Institute of Higher Education, Zabol, AF

^{2,3}Department of Mathematics, Kabul University, Kabul, Af

Email: mohammadhaniftakal@gmail.com

Abstract

Mathematical models of diseases, which study the mechanisms of disease transmission and control from a mathematical perspective, play a significant role in assisting public health policymakers in designing strategies for disease control. In this paper, two mathematical models of tuberculosis, SEIR and SVEIL, are analyzed and compared. Various aspects of the models, such as their structure, stability analysis, basic reproduction number, differences in variables and parameters, and scope of application, are evaluated. We demonstrated that the SVEIL model is more comprehensive than the SEIR model; it incorporates vaccination and successful treatment, and the loss of immunity against the disease, offering a more realistic analysis of disease dynamics. However, due to its expanded structure, the SVEIL model involves greater computational complexity in conducting stability analysis and calculating the basic reproduction number.

Keywords: Basic Reproduction Number; Comparison; Mathematical Models; Stability Of Equilibrium Points; Tuberculosis

ارجاع: تکل، م. ح.، نوري ن. ا. و بيدار، ع. (۱۴۰۴). د نري رنځ د SEIR او SVEIL رياضيکي ماډلونو د جوړښتونو پرتله.

مجله علمی - تحقیقی علوم طبیعی پوهنتون کابل، ۸(۲)، ۱۰۳-۱۱۹. <https://doi.org/10.62810/jns.v8i2.444>

سریزه

د ساري ناروغيو د خپرېدو د درك او كنترول لپاره، رياضيكي ماډلونه خورا مهمه وسيله گڼل كېږي. دا ماډلونه زموږ سره مرسته كوي چې د ناروغيو د انتقال مسيرونه وپېژنو، د عامې روغتيا مداخلې و ارزوو، او د راتلونكو ناروغيو د خپرېدو وړاندوينه وكړو. د ساري ناروغيو څخه يو هم نري رنځ (TB) دی، نري رنځ يو له هغو ساري ناروغيو څخه ده چې د مخنيوي او درملنې وړ ده، خو بيا هم نري رنځ يوه جدي روغتيابي ستونزه پاتې شوې ده. دا ناروغي هغه وخت خپرېږي كله چې ناروغان د توخي، پرنجې يا لارو توكلو له لارې باكترياوې هوا ته خوشې كړي. نري رنځ عموماً سري اغېزمن كوي، چې دې ته تنفسي نري رنځ ويل كېږي؛ خو دا ناروغي كولى شي د بدن نورې برخې هم اغېزمنې كړي، چې دې ته غير تنفسي نري رنځ وايي (WHO, 2024). د نري رنځ لومړى پړاو، چې پټ (latent) پړاو بلل كېږي، د نښو نښانو نشتوالى لري، او په دې پړاو كې ناروغان ناروغي نورو ته نه انتقالوي (WHO, 2023). طب او د ساينس بېلابېلې څانگې د ناروغيو په مخنيوي او كنترول كې مهم رول لري، سربيره پردې رياضيات هم يو له هغو علومو څخه دي چې د ناروغيو د خپرېدو د تحليل، د ناروغي د پېښو د وړاندوينې او د درملنې د ستراتيژيو د اغېز په ارزونه كې مهم رول لوبوي.

رياضيكي ماډلونه د ناروغيو د خپرېدو د ديناميك د مطالعې لپاره يوه مهمه وسيله ده. دا وسيله د عامې روغتيا پاليسي جوړونكو ته اړين معلومات برابروي، ترڅو د ساري ناروغيو د كنترول لپاره مؤثر پروگرامونه پلي كړي. په تېرو كلونو كې، بېلابېل ماډلونه د گڼ شمېر څېړونكو له خوا رامنځته شوي او د بېلابېلو ناروغيو لپاره تطبيق شوي دي (Brady & Enderling, 2019; Kucharski et al., 2020; Mandal et al., 2011; NOORANI, 2012; Twumasi et al., 2019). ډېرو ليكوالانو د نري رنځ په مختلفو سيمو كې د نري رنځ (TB) د خپرېدو بېلابېل ماډلونه مطالعه كړي دي (Khan et al., 2019; Ucan et al., 2021a; Widyaningsih et al., 2019). څېړونكو د نري رنځ د خپرېدو او كنترول باندې اغېز لرونكي بېلابېل عوامل څېړلي دي، لكه د واکسين ونډه (Ginting et al., 2024; Zhao et al., 2025)، د بشپړ او نيمگړي درملنې اغېز (Yang et al., 2010)، د بيا انتان امكان (Chinnathambi et al., 2021)، او په ځينو مواردو كې، مهاجرت څيړلې دي (Antunes & Waldman, 2001; Jia et al., 2008).

په ۱۹۶۲ كال كې، والر او همكارانو (WAALER et al., 1962) يې د نري رنځ لپاره لومړى رياضيكي ماډل معرفي كړ دوي نفوس په دري برخو تقسيم كړ. ژاو او همكارانو (Zhao et al., 2017) د ۲۰۰۵ او ۲۰۱۶ كلونو ترمنځ د چين په اصلي برخو كې د نري رنځ د خپرېدو ديناميك كې د عمر رول وڅيړو،

دوي نفوس د عمر په نظر کې نیولو سره په دري گروپونو تقسیم کړي: ماشومان، منځني عمر لرونکي او د لوړ عمر کسان. د آسیا-پسیفیک سیمو کې چې د نري رنځ کچه لوړه ده، تراور او همکارانو (Trauer et al., 2014) یو ریاضیکي ماډل وړاندیز کړ ترڅو د نري رنځ د خپرېدو مطالعه وکړي. اوجاکان او همکارانو (Ucakan et al., 2021b) په ترکیه کې د نري رنځ د خپرېدو لپاره ساده SIR، SEIR او BSEIR ماډلونه مطالعه کړل او د دوي پایلې یې پرتله کړي، دوي وښودل چې BSEIR ماډل د نورو دوو ماډلونو په پرتله دقیق دی. احسان او همکارانو (Ullah et al., 2023) د درملنې او پوهې اغېز د نري رنځ انتان باندې د یو نوې ماډل په کارولو سره مطالعه کړ، چې دا ماډل د خپرېدو، درملنې، او پوهاوي ترمنځ پېچلې اړیکه ښيي.

له گڼ شمېر ماډلونو څخه، د SEIR ماډل یې تر ټولو مشهور او ساده ماډلونو څخه دی، چې د ډیرو ساري ناروغيو، لکه نري رنځ، انفولونزا، کووید-۱۹، او نورو لپاره کارول شوی دی. دا ماډل ټول وگړي په څلورو ډلو وېشي، او د ناروغی د خپرېدو د دینامیک ساده انځور وړاندې کوي. یو هم د SVEIL ماډل دی چې د مختلفو ساري ناروغيو په ځانگړي ډول نري رنځ لپاره کارېږي، په دې مقاله کې به مور د همدې دواړه ماډلونو SEIR او SVEIL چې په (Kereyu & Demie, 2021) او (Mengistu & Witbooi, 2019) منابعو کې په ترتیب سره وړاندې شوي مقایسوي تحلیل ترسره کړو. موخه داده چې د دواړو ماډلونو جوړښت، پارامترونه، او د کارونې ساحې تشریح او پرتله کړو، ترڅو پوه شو چې کوم ماډل په کومو شرایطو کې مؤثره نتیجه ورکوي، د هر ماډل ځانگړنې او د استعمال ساحې به تفکیک کړو. نري رنځ (TB) یوه ساري او وژونکي ناروغي ده چې لا هم په نړیواله کچه د عامې روغتیا لپاره جدي گواښ گڼل کېږي. د دې ناروغی د درک، کنټرول، او رېښې ایستني لپاره، ریاضیکي ماډلونه یو له مؤثرو علمي وسیلو څخه دي. دغه ماډلونه مرسته کوي چې د TB د خپرېدو میکانیزمونه تشریح کړو، د مداخلو ارزونه وکړو، او د اوږدمهاله پایلو وړاندوینه وکړو.

د څیړنې تگلاره

د ناروغيو د خپرېدو شکل ته په کتلو سره د ماډلونو جوړښت هم تغیر کوي. دلته چې کوم دوه ماډلونه مطالعه کېږي دیترمینستیک ماډلونه دي، چې ریاضیکي شکلونه یې د معمولي غیري خطي تفاضلي معادلو سیستمونه تشکیلوي. د دې ماډلونه تعادلي نقطې په دوه ډولونو ویشل شوي دي: د ناروغی څخه

¹ Susceptible- Exposed -Infectious

² Susceptible-Exposed-Infectious-Recovered

³ Bcg-Vaccinated- Susceptible-Exposed-Infectious-Recovered

⁴ compartments

پاڅه تعادلي نقطه^۵ (DFE) او انډيمیک تعادلي نقطه^۶ (EE) د دې نقطو د لاسته راوړلو لپاره د هر ماډل مربوطه سیستم بنی لوری له صفر سره په مساوي کولو سره لاسته راوړلای سو، د ماډلونو د DFE او EE نقطو د محلي ثبات د معلومولو لپاره د ژاکوبی متریکس څخه استفاده کیري او د روت هر ویتز میتود په مرسته یې ثبات څېړل کیري. د ماډلونو د کیفی چلند د تحلیل لپاره، مور اړتیا لرو چې د بنسټیز تولید شمېره محاسبه کړو. دا یو مهم حدی قیمت دی چې په R_0 سره ښودل کیري؛ دیکمن او همکارانو (Diekmann et al., 1990) یې داسی تعریف کړی "په ناروغی د یوه اخته شوی کس له خوا په بشپړ ډول حساس نفوس کې د اوسط ثانوي انتاناتو له شمېر څخه عبارت دی". دا ښیې چې یو اخته شوی کس به په اوسط ډول څو نور کسان په ناروغی اخته کړي. د لاسته راوړلو لپاره یې د راتلونکې نسل اپراتور میتود (Next-Generation operator technique) کارول کیري، دا میتود په (Driessche & Watmough, 2005) کې وړاندې شوی دی. د ماډلونو پارامترونه له تیرو څیړنو، معلوماتو او ډاټا څخه لاسته راوړلای کیري او ځینې نور یې د (least square curve fitting) میتود په مرسته په Matlab کې محاسبه کولای شو.

موندني

د SEIR ماډل جوړښت

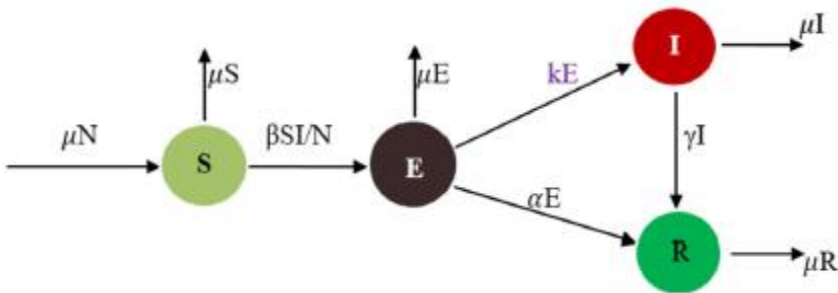
د SEIR ماډل یو له ساده ماډلونو څخه دی، دا ماډل د مطالعې لاندې ټولنه د دوی د ناروغی د وضعیت له مخې په څلورو برخو وېشي، چې عبارت دي له:

- حساس کسان (S): هغه کسان دي چې لا تر اوسه د نري رنځ (TB) په باکتریا نه دي اخته شوي، خو د اخته کېدو احتمال لري؛ مواجهه شوي کسان (E): هغه کسان دي چې تازه د نري رنځ وایروس ورته منتقل شوی، خو لا یې ناروغی فعاله نه ده؛
 - انتقالوونکي کسان (I): هغه کسان دي چې په ناروغی اخته دي او کولی شي نور کسان هم اخته کړي؛ روغ شوي کسان (R): هغه کسان دي چې له ناروغی څخه رغېدلي دي.
- فرضوو چې ټول نفوس N ثابت پاتې کیري (یعنې د طبیعي زیرونو او مړینې کچه سره برابره ده، او کېدوالي یا مهاجرت نه شته) او د نري رنځ له امله مړینې نه واقع کیري. نو د زیرونو او مړینې طبیعي نرخ μ دی. همداراز، فرضوو چې یو شخص لومړی په ناروغی اخته کسانو سره د تماس له لارې په ناروغی

⁵ Disease free equilibrium

⁶ Endemic equilibrium

اخته کېږي، خو سمدلاسه ناروغي نه انتقالوي. یعنې، تر ابتدایي اخته کېدو وروسته، شخص یو پټ پړاو تېروي او بیا یا خو ښه کېږي (کله چې دفاعي سیستم باکتریا له منځه وړي). او یا هم ناروغي په فعال شکل را څرگندېږي، په دې حالت کې ناروغي انتقالوي، هغه اندازه خلک چې حساس حالت ته داخلېږي، د μN اندازه دي. له دې کچې نه د حساسو کسانو د مړینې کچه μS ، او د هغو حساسو کسانو کچه $\frac{\beta SI}{N}$ چې انتقالی کسانو سره د تماس له لارې اخته کېږي، منفي کېږي. له مخامخ شویو کسانو څخه، هغه چې مري μE ، هغه چې انتاني کېږي kE ، او هغه چې رغېږي αE ، له $\frac{\beta SI}{N}$ تفریق کېږي. د دې لپاره چې څرگنده شي خلک څنګه انتاني حالت ته داخلېږي، له kE نه د انتقالی کسانو د مړینې کچه μI ، او د رغېدنې کچه γI تفریق کېږي. وروستی معادله هغه کچه تشریح کوي چې خلک څنګه له ناروغی رغېږي؛ یعنې، هغه کسان چې انتاني حالت ته نه ځي αE ، له E نه R ته انتقالېږي، او هغه چې له انتاني حالت نه رغېږي γI ، له I نه R ته انتقالېږي. له دې شمېرې نه، د رغېدلو کسانو د مړینې کچه μR تفریق کېږي. دا ماډل په (لومړي انځور) کې ښودل شوی دی.



لومړی انځور: د SEIR ماډل دیاگرام (Kereyu & Demie, 2021)

د دې ماډل دیاگرام په اساس د ماډل ډینامیک د لاندې معمولي تفاضلي معادلو یو سیستم دی

$$\begin{aligned} \frac{dS}{dt} &= \mu N - \mu S - \beta S \frac{I}{N}, \\ \frac{dE}{dt} &= \beta S \frac{I}{N} - (\mu + k + \alpha)E, \\ \frac{dI}{dt} &= kE - (\mu + \gamma)I, \\ \frac{dR}{dt} &= \alpha E + \gamma I - \mu R, \end{aligned} \tag{۱}$$

چې د لاندې اوليه شرايطو درلودونکی دی

$$S(0) = S_0 \geq 0, E(0) = E_0 \geq 0, I(0) = I_0 \geq 0, R(0) = R_0 \geq 0.$$

که په (۱) سیستم کې د R څخه صرف نظر وکړو، نو کولای شو پورته سیستم په لاندې ډول ولیکو

$$\begin{aligned} \frac{dS}{dt} &= \mu N - \mu S - \beta S \frac{I}{N}, \\ \frac{dE}{dt} &= \beta S \frac{I}{N} - (\mu + k + \alpha), \\ \frac{dI}{dt} &= kE - (\mu + \gamma)I. \end{aligned} \quad (2)$$

د SEIR ماډل تحلیل

مثبت والی او محدودیت. دا چې ماډل نفوسو پوري اړه لري نو ټول متحولونه باید د $t > 0$ لپاره مثبت وي، د دې لپاره چې دا وښو لاندې قضیه بیانوو.

۱. قضیه: د لومړي ماډل اولیه شرایط غیر منفي دي، نو د (۱) سیستم د حلونو سټ

$$G = \{S(t), E(t), I(t), R(t)\},$$

د هر $t > 0$ لپاره غیر منفي دی.

مثبته ثابت ساحه. د لومړي ماډل لپاره یوه بیولوژیکي معنا لرونکې ساحه $\Gamma \subset \mathbb{R}_+^4$ داسې تعریفوو:

$$\Gamma = \left\{ S(t), E(t), I(t), R(t) \in \mathbb{R}_+^4 \mid S(t) + E(t) + I(t) + R(t) \leq \frac{\Lambda}{\mu} \right\}.$$

۲. قضیه: د Γ سټ په \mathbb{R}_+^4 ساحه کې مثبت ثابت پاتي کیدونکی تړلی سټ دی.

د اساسي تکثیر شمېره او تعادلي نقطې. د (۱) ماډل اساسي تکثیر شمېره \mathcal{R}_0 چې د راتلونکې نسل اپراتور میتود (Next-Generation operator technique) پواسطه لاسته راوړل سوې عبارت ده له

$$\mathcal{R}_0 = \frac{\beta k}{(\mu + k + \alpha)(\mu + \gamma)}.$$

د (۲) ماډل تعادلي نقطې په دوه ډولونو ویشل شوي دي: د ناروغی څخه پاکه تعادلي نقطه^۷ (DFE) او

انډیمیک تعادلي نقطه^۸ (EE) چې په ترتیب سره په لاندې ډول دي

$$E_1 = (N, 0, 0),$$

⁷ Disease free equilibrium

⁸ Endemic equilibrium

$$E_2 = \left(\frac{N}{\mathcal{R}_0}, \frac{\mu N(\mu + \gamma)}{\beta k} (\mathcal{R}_0 - 1), \frac{\mu N}{\beta} (\mathcal{R}_0 - 1) \right).$$

لاندي قضیې د (۲) سیستم د ثبات اړوند دي.

۳. **قضیه:** که چیرې $\mathcal{R}_0 < 1$ وي؛ نو د DFE یعنی E_1 د (۲) ماډل محلي مجانبی ثبات (LAS) لري.

۴. **قضیه:** که چیرې $\mathcal{R}_0 > 1$ وي؛ نو د EE یعنی E_2 د (۲) ماډل محلي مجانبی ثبات (LAS) لري.

پورته قضیې د ژاکوبي متریکس په مرسته، د سیستم د مشخصه قیمتونو په نظر کې نیولو سره ثبوتیږي. دا چې دا یو ساده سیستم دی نو ثبوت یې پیچلی نه دی او د ثبوت څخه یې صرف نظر کوو.

د ماډل د پارامترونو محاسبه کول. په SEIR ماډل کې پارمترونه عبارت دي له: μ (د مړینې کچه)، β (د ناروغی د انتقال ضریب)، k (د انتقال کچه له latent څخه اخته شویو ته)، α (د رغیدو کچه له latent څخه R ته) او γ (د رغیدو کچه له اخته شویو څخه R ته). د دې پارامترونو څخه یې ځینې کولای شو له ډاټا څخه محاسبه کړو خو ځینې نور یې کولای شو د^۹ میتود په مرسته محاسبه کړو.

د SVEIL ماډل جوړښت

دا ماډل په t وخت کې، ټول نفوس $N(t)$ ، په پنځو فرعي گروپونو ویشي: حساس $S(t)$ ، واکسین شوي $V(t)$ ، $E(t)$ د لوړ خطر پټ اخته^{۱۰} دا هغه کسان دي چې میکروب یې په بدن کې پټ دی ناروغي نه انتقالوي، خو لوړ خطر لري چې وروسته د ناروغی په فعال شکل اخته شي او نورو ته یې انتقال کړي. $I(t)$ اخته شوي کسان او $L(t)$ د تپټ خطر پټ اخته کسان^{۱۱}. مور فرضوو چې نفوس ته د نوو افرادو د داخلېدو کچه Λ ده، او یو څه برخه $\epsilon \Lambda$ به یې د زیرون پر مهال واکسین ترلاسه کړي، چیرې چې $0 \leq \epsilon \leq 1$ دی. د مړینې کچه هغه مړینه چې د TB له امله نه وي (د هر ټولگي لپاره یوشان فرض شوې ده) او μ سره ښودل شوې ده. د TB له امله مړینه یوازې په I ټولگي کې پېښیږي، چې کچه یې δ ده. د BCG^{۱۲} واکسین مؤثریت بشپړ نه دی؛ له همدې امله، فرض کېږي چې یو څه برخه واکسین شوي افراد به د باکتریا پر وړاندې حساس پاتې شي، چې کچه یې θ ده. β د انتقال

⁹ least square curve fitting

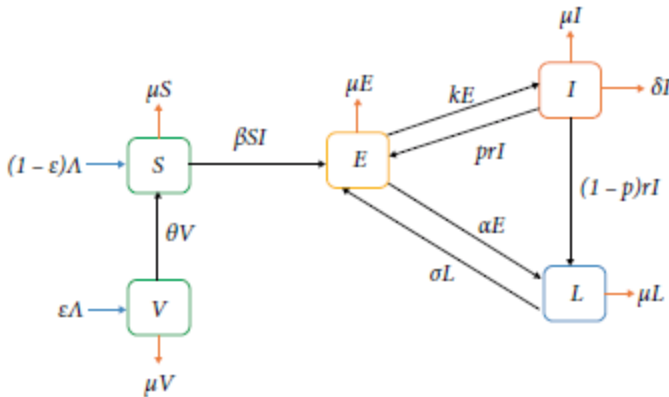
¹⁰ High-Risk latently infected

¹¹ Low-Risk latent

¹² Bacillus Calmette-Guérin

ضریب دی، حساس افراد کولی شي د β په کچه په TB اخته شي. د E ټولگي لپاره د درملنې کچه α سره بنودل شوې ده. فرضوو چې د E ټولگي نه تداوي شوي برخه به په فعال TB بدله شي، چې کچه یې k ده. که چیرې د I ټولگي لپاره درملنه د r په کچه تطبیق شي، نو یو څه برخه به یې په سمه توګه درملنه بشپړه کړي، چې کچه یې $r(1 - p)$ ده، چیرې چې $0 \leq p \leq 1$ رغېدلو افرادو ته L ټولگي ته انتقال ورکول کېږي، ځکه ځینې وختونه درملنه نشي کولی د TB باکتریا له بدن څخه په بشپړه توګه له منځه یوسي. له همدې امله، رغېدلي او د ټیټ خطر پټ اخته افراد $L(t)$ په یوه ټولگي کې طبقه بندي شوي دي. فرضوو چې د نري رنځ پر وړاندې دایمي معافیت نشته؛ له همدې امله، یو څه برخه رغېدلي (د ټیټ پټ انتان لرونکي) افراد کولی شي خپل معافیت له لاسه ورکړي او بیا د لوړ پټ انتان لرونکي شي، چې د بیا فعالېدو کچه یې σ ده. همدارنګه مور فرضوو چې د دې ماډل لپاره ټول پارامترونه غیر منفي دي.

د دې فرضیو پر بنسټ، لاندې ډیاګرام (دوهم انځور) لاسته راځي چې د پنځه واړه ټولگیو ترمنځ اړیکي ښيي.



دوهم انځور: د SVEIL ماډل ډیاګرام (Mengistu & Witbooi, 2019)

د پورته تعریفونو، فرضیو او د متحولونو ترمنځ اړیکو پراساس، د TB ډینامیک بیان لپاره د

معمولي تفاضلي معادلو (ODE) لاندې سیستم تشکیلېږي:

$$\frac{dS}{dt} = (1 - \epsilon)\Lambda + \theta V - \beta SI - \mu S,$$

$$\frac{dV}{dt} = \epsilon\Lambda - (\theta + \mu)V,$$

$$\frac{dE}{dt} = \beta S I + p r I + \sigma L - (k + \alpha + \mu)E, \quad (۳)$$

$$\frac{dI}{dt} = kE - (\mu + r + \delta)I,$$

$$\frac{dL}{dt} = (1 - p)r I + \alpha E - (\mu + \sigma)L,$$

$$N(t) = S(t) + V(t) + E(t) + I(t) + L(t).$$

د SVEIL ماډل تحلیل

مثبت والی او محدودیت. ۵. قضیه: د غیر منفي لومړنیو شرایطو سره، د (۳) ماډل د حل ساحه په لاندې ډول ده:

$$\Gamma = \left\{ S(t), V(t), E(t), I(t), L(t) \in R_+^5 \mid N(t) \leq \frac{\Lambda}{\mu} \right\},$$

چیرې چې $N(t)$ د (۳) رابطې اخبري معادله ده.

د اساسي تکثیر شمېره او تعادلي نقطې. څرنگه چې SVEIL ماډل پنځه ټولګي لري او د پارامترونو شمیر یې هم نسبت SEIR ته ډیر دی؛ نو د تکثیر اساسي شمېره \mathcal{R}_0 یې د اوږدو محاسباتو په مرسته لاسته راځي. د اساسي تکثیر شمېره هم د (Next Generation Matrix) میتود په واسطه لاسته راوړو. او \mathcal{R}_0 یې په لاندې ډول ده:

$$\mathcal{R}_0 = \frac{Y_1}{\mu (\theta + \mu)(Y_2 + Y_3)}, \quad (۴)$$

چیرې چې

$$Y_1 = k\beta\Lambda[\theta + \mu(1 - \varepsilon)](\mu + \sigma),$$

$$Y_2 = \mu(r + \delta + \mu)(\alpha + \mu + \sigma),$$

$$Y_3 = k\{r\mu(1 - p) + (\delta + \mu)(\mu + \sigma)\}.$$

د (۲) سیستم DFE نقطه په لاندې ډول ده

$$P_0^* = (S_0^*, V_0^*, 0, 0, 0),$$

داسې چې $S_0^* = \frac{\mu(1-\varepsilon)\Lambda\theta}{\theta+\mu}$ او $V_0^* = \frac{\varepsilon\Lambda}{\theta+\mu}$ دي. او EE یې لاندې شکل لري:

$$P^* = (S^*, V^*, E^*, I^*, L^*),$$

چیرې چې

$$S^* = \frac{\Lambda[\theta + \mu(1 - \varepsilon)]}{\mathcal{R}_0(\theta + \mu)},$$

$$V^* = \frac{\varepsilon\Lambda}{\theta + \mu},$$

$$E^* = \frac{(r + \delta + \mu)\mu}{k\beta}(\mathcal{R}_0 - 1),$$

$$I^* = \frac{\mu}{\beta}(\mathcal{R}_0 - 1),$$

$$L^* = \frac{\mu(kr(1 - p)\alpha(r + \delta + \mu)\mu)}{k\beta(\mu + \sigma)}(\mathcal{R}_0 - 1).$$

۶. قضیه: که چیري $\mathcal{R}_0 < 1$ وي؛ نو د DFE يعني E_1 د (۲) ماډل محلي مجانبی ثبات (LAS) لري.

۷. قضیه: که چیري $\mathcal{R}_0 > 1$ وي؛ نو د EE يعني E_2 د (۲) ماډل محلي مجانبی ثبات (LAS)

لري.

د SVEIL پارامترونه عبارت دي له: $\delta, \Lambda, \varepsilon, \theta, \beta, \alpha, k, r, p$ او هر یو یې مخکې تشریح شوي دی.

د SEIR ماډل یو ساده ریاضیکي ماډل دی چې د ناروغیو د خپریدو د ډینامیک لپاره کاریري، دا ماډل څلور برخې (Compartments) لري، دې ماډل کې د ناروغی له امله رامنځته کیدونکي مړینه، واکسین، دویم ځلي په ناروغی اخته کېدل په نظر کې نه دي نیول شوي. دا یو ساده ماډل دی چې د عمومي ساري ناروغیو تحلیل لپاره کاریري، خو د واقعیتونو ډېرو اړخونو ته پاملرنه نه کوي. بل خوا SVEIL نسبت SEIR ته یو پراخ ماډل دی چې تر ډیره د پیچلو ناروغیو، لکه نري رنځ لپاره مناسب دی، ځکه د واکسین، درملنې مرحلو، او معافیت له لاسه ورکولو اغېزې پکې شاملې دي. که څه هم SVEIL محاسباتي پیچلتیا لري، خو د ناروغیو د خپرېدو د دقیق تحلیل لپاره ډیر مناسب دی. نو د نري رنځ یا ورته ناروغیو لپاره، SVEIL تر SEIR غوره ماډل دی، ځکه د ناروغی طبیعت او وقایوي تدابیر بڼه انعکاسوي.

بحث او مناقشه

د SEIR ماډل یو ساده څلور برخې لرونکی ریاضیکي ماډل دی چې حساس S ، مخفي / مواجهه E ، په ناروغی اخته I او رغېدونکي R افراد پکې شامل دي، د دې ماډل ریاضیکي شکل د معمولي غیر خطي دیفرانسیلي معادلو سیستم دی. په دې ماډل کې یو حساس کس لومړی انتاني کېږي داسي چې

نورو ته ناروغي نه خپروي چې دې ته د پټ انتان مرحله وايي، وروسته له دې څخه که انتان د تداوی یا بدن د مقاومت پواسطه له منځه لاړ شي نو افراد R ټولگي ته ځي، خو که ناروغي پرمختگ وکړي په دې مرحله کې نو بیا I ټولگي ته داخليري، همدارنگه په دې ماډل کې د نري رنځ له امله مړينه په نظر کې نه ده نیول شوي، چې دا د ناروغی له واقعیتونو سره ډیره نږدې نه ده ځکه د نري رنځ او ځینې نورو ساري ناروغیو له امله انسانان ژوند له لاسه ورکوي. د I ټولگي څخه افراد وروسته له تداوی د رغېدو ټولگي R ته داخليري، د R څخه وروسته افراد کوم بل ټولگي ته نه ځي دا خبره دا مفهوم ورکوي چې دلته د رغېدونکو لپاره مکمل معافیت فرض شوی دی.

د مختلفو ناروغیو د بېلگې په ډول نري رنځ لپاره واکسين هم وجود لري چې مشهور يې BCG واکسين دی خو په دې ماډل کې په نظر کې نه دی نیول شوی، همدارنگه د I ټولگي کې د ناروغی له امله مړينه رامنځته کېږي خو دلته صرف نظر ورڅخه شوی دی. همدارنگه کامیابه تداوي هم په نظر کې نیول شوې نه ده.

خو SVEIL داسي یو ماډل دی چې پنځه برخې^{۱۳} لري چې حساس S ، واکسين شوي V ، لوړ پټ انتان لرونکي E ، په ناروغی اخته I او ټیټ پټ انتان لرونکي L لري. د دې ماډل ریاضیکي شکل د SEIR په شان د معمولي غیر خطي دیفرانسیلي معادلو سیستم دی. په دې ماډل کې latent یا پټ انتان لرونکي په دوو برخو ویشل شوي چې ټیټ پټ انتان لرونکي او لوړ پټ انتان لرونکي پکې شامل دي، او دا له ځینو ناروغیو د بېلگې په ډول نري رنځ سره ښه موافقت لري، ځکه په دې ناروغی کې یادي مرحلي وجود لري، په دې ماډل کې واکسين شوي V دي دا چې د واکسين لپاره نیمگړی معافیت نظر کې نیول شوی نو هغه کسان چې واکسين شوي او د ناروغی په وړاندې وروسته له یو څه وخته خپل معافیت له لاسه ورکړی هغه کسان S ته دا خلیري، همدارنگه S افرادو د داخلېدو کچه A ده. حساس افراد S لومړی لوړ پټ انتاني E کېږي، وروسته که درملنه وشي نو ټیټ پټ انتان لرونکي L ته داخليري، له همدې امله، رغېدلي او د ټیټ پټ انتان لرونکي افراد $L(t)$ په یوه ټولگي کې طبقه بندي شوي دي، دا چې د نري رنځ لپاره معافیت نشته نو رغېدلي یا ټیټ پټ انتان لرونکي ممکن بیرته لوړ پټ انتاني E شي، همدارنگه که تداوي ونه شي یا کامیابه نه وي نو لوړ پټ انتاني E د I ټولگي ته چې د ناروغی فعال شکل دی ځي.

^{۱۳} Compartments

د I ټولگي لپاره درملنه د r په کچې سره تطبیق کېږي او $r(1 - p)$ یې هغه برخه ده چې کامیابه درملنه ترلاسه کوي، دا کسان L ته ځي. او هغه چې کامیابه درملنه نه ترلاسه کوي rp دي. چې E ته ورگرځي. نفوس N په دواړو ماډلونو کې ثابت فرض شوی دی. د $SEIR$ د تکثیر اساسي شمېره $\mathcal{R}_0 = \beta k / ((\mu + k + \alpha)(\mu + \gamma))$ ده، خو د $SVEIL$ د تولید اساسي شمېره یوه پیچلې معادله ده چې (۴) کې تعریف شوې ده. د $SEIR$ پارامترونه عبارت دي له: μ, β, k, α او γ څخه، په داسې حال کې چې د $SVEIL$ پارامترونه $\mu, \delta, \Lambda, \varepsilon, \theta, \beta, k, \alpha, r, p$ او σ څخه عبارت دي. په دې ماډل کې کامیابه درملنه $(1 - p)$ ، معافیت له لاسه ورکول σ ، د نري رنځ د مړینې کچه δ ، هغه کسان چې د واکسین وروسته معافیت د لاسه ورکوي θ او هغه کسان چې واکسین شوي ε دي، دا هغه پارامترونه دي چې په $SEIR$ کې شتون نه لري، د $SVEIL$ ماډل پراخ دی او تر ډیره حده د ناروغی په هکله واقع بینانه تحلیل وړاندې کوي. په دواړو ماډلونو کې کله چې $\mathcal{R}_0 < 1$ وي، د ناروغی څخه پاکي تعادلي نقطې (DFE) ثابت لري او که $\mathcal{R}_0 > 1$ وي، انډیمیک تعادلي نقطه (EE) ثابت لري. د دواړو ماډلونو \mathcal{R}_0 د Next-Generation Matrix پواسطه محاسبه شوی دی. دا چې $SEIR$ نسبت $SVEIL$ ته ساده دی؛ نو \mathcal{R}_0 محاسبه کول یې ساده دي خو برعکس د $SVEIL$ ماډل \mathcal{R}_0 محاسبه کول پراخو ریاضیکي عملیو ته ضرورت لري، د (DFE) او (EE) د ثبات (Stability) محاسبه کولو پروسه د ماډلونو جوړښت ته په کتو سره توپیر لري. دا چې په نري رنځ کې د واکسین پوښښ موثر دی، نو په هغو ساحو کې چې د نري رنځ ناروغی لپاره واکسین تجویز کېږي هلته د نري رنځ ریاضیکي تحلیل لپاره $SVEIL$ یو مناسب ماډل دي.

همدارنگه اوجاکان او همکارانو (۲۰۲۱) یې د نري رنځ د خپرېدو لپاره چې کوم ساده ماډلونه SIR، SEIR او BSEIR ماډلونه مطالعه کړل او د دوي پایلې یې پرته کړې، دوي وښودل چې BSEIR ماډل د نورو دوو ماډلونو په پرتله دقیق او مناسب دی. زموږ موندنې هم دا ښيي چې SVEIL د SEIR په پرتله ښه او مناسب دی. البته BSEIR او SVEIL جوړښتونه په ځینو پارامترونو کې توپیر سره لري.

همدارنگه (۲۰۱۹) چې کوم ماډل مطالعه کړی دوي د latent (انتان پټه مرحله) په دوو برخو کمزوي او قوي مرحلو ویشلې او هم یې تداوي د یوه متحول په حیث په نظر کې نیولې ده، خو واکسین یې په نظر کې نه دی نیولی. په داسې حال کې مور چې کوم ماډلونه تحلیل او مقایسه کړل په SVEIL کې هم د latent (پټ انتان مرحله) په دوو برخو ویشل شوې ده خو تداوي د یوه پارامتر په شکل په نظر کې نیول شوې او هم واکسین وجود لري.

په دې دواړو ماډلونو کې ځینې محدودیتونه وجود لري. د بېلګې په ډول د درملوسره مقاومت، مهاجرت، عمر او د نري رنځ سره یو ځای د یوې بلي ساري ناروغی درلودل هغه څه دي چې په دې ماډلونو کې په نظر کې نه دي نیول شوي. په عمومي ډول ویلای شو چې د SEIR ماډل ټولګي (compartments) او پارامترونه کم دي، نو په همدې اساس یې ډینامیکي چلند تحلیلول اسانه او ساده دی، خو د ناروغیو په هکله ښه واقع بینانه تحلیل نه شي وړاندې کولای.

پایلي

ریاضیکي ماډلونه د ناروغیو د خپرېدو د ډینامیک د مطالعې لپاره یو مهمه وسیله ده. دا وسیله د عامې روغتیا پالیسي جوړونکو ته اړین معلومات برابرې ترڅو د ساري ناروغیو د کنټرول لپاره مؤثر پروګرامونه پلي کړي. په تېرو کلونو کې، بیلابیل ماډلونه د ګڼ شمېر څېړونکو له خوا رامنځته شوي او د بیلابیلو ناروغیو لپاره تطبیق شوي دي. په دې څېړنه کې مور د نري رنځ دوه ریاضیکي ماډلونو SEIR او SVEIL جوړښت پرته کړل، دلته مور د دې ماډلونو مختلف اړخونه وڅیړل، مور وښودل چې که څه هم د SVEIL ماډل جوړښت، د ثبات تحلیل، اساسي تکتیر شمېره R_0 لاسته راوړل محاسباتي پیچلتیا لري خو دا چې ډیر ټولګي لري، او همدارنګه د ناورغی لپاره واکسین، د تداوي کچه او د ناروغی په وړاندې د معافیت له لاسه ورکولو اغیزې پکې شاملې دي، نو د نري رنځ یا ورته ناروغیو لپاره، SVEIL نسبت SEIR ته غوره ماډل دی، ځکه د ناروغی طبیعت او وقایوي تدابیر ښه انعکاسوي. او د ناروغیو په هکله تر ډیره واقع بینانه تحلیل وړاندې کولای شي. نو د ریاضیاتو له نظره د نري رنځ یا دېته ورته نورو ساري ناروغیو د ریاضیکي ماډل بنديو لپاره SVEIL نسبت SEIR ته ښه انتخاب دی.

د دې څېړنې موخه د نري رنځ د خپرېدو د SEIR او SVEIL ریاضیکي ماډلونو تحلیل او مقایسه وه، خو څېړنه یو شمېر محدودیتونه هم لري. دا څېړنه یوازې د نري رنځ په ریاضیکي ماډلونو تمرکز لري او نورې انتاني ناروغی پکې نه دي شاملې شوې، چې د ماډلونو د عمومي تطبیق وړتیا محدوده کوي. مور یوازې دوه ټاکلي ماډلونه تحلیل کړي؛ دا پداسې حال کې ده چې نور پرمختللي یا بدیل ماډلونه ممکن لا مؤثرې پایلې ورکړي. له واقعي معلوماتو سره د ماډلونو تطبیق د ماډل په انتخاب کې مهم رول لري، خو دلته په واقعي معلوماتو باندې د یادو ماډلونو تطبیق نه دی مقایسه شوی.

وړاندیزونه

وړاندیز کېږي که د ریاضیکي ماډلونو په مرسته په افغانستان کې د نري رنځ پرمختګ په راتلونکي کې د ناروغیو د پرمختللو ماډلونو په مرسته تحلیل شي، دا به د نري رنځ په کنټرول کې مهم وي. همدارنګه

د کنترول غوره ستراتیژی که د ریاضیکي نظره تحلیل شي، ترڅو د یادي ناروغی د کنترول غوره د مخنیوي ستراتیژي وپېژندل شي.

منلیک

مور د کابل پوهنتون د ریاضیاتو پوهنځي مننه کوو چې د دې څېړنې په ترسره کولو کې یې زموږ سره تخنیکي او علمي مرسته وکړه. د دوی همکاري او لارښوونې زموږ د څېړنیز کار د پیاوړتیا لپاره بنسټیز رول ولوباوه.

د لیکوالانو ونډه

نورالله نوري د مقالې مفهوم وړاندي کړی، د څېړنیز کارونو څخه یې نظارت او د مقالې کتنه ترسره کړې. محمدحنیف تکل د موندنو، میتودولوژي او تحلیل برخه او همدارنگه د مقالې لیکل ترسره کړي. او عبدالوکیل بیدار د مقالې د مناقشې برخه او د مقالې کتنه ترسره کړېده.

د گټو ټکر

لیکوالان تصدیق کوي چې د دې مقالې په تړاو هېڅ ډول د گټو ټکر شتون نه لري.

- Antunes, J. L. F., & Waldman, E. A. (2001). The impact of AIDS, immigration and housing overcrowding on tuberculosis deaths in São Paulo, Brazil, 1994–1998. *Social Science & Medicine*, 52(7), 1071–1080.
[https://doi.org/10.1016/S0277-9536\(00\)00214-8](https://doi.org/10.1016/S0277-9536(00)00214-8)
- Brady, R., & Enderling, H. (2019). Mathematical Models of Cancer: When to Predict Novel Therapies, and When Not to. *Bulletin of Mathematical Biology*, 81(10), 3722–3731. <https://doi.org/10.1007/S11538-019-00640>
- Chinnathambi, R., Rihan, F. A., & Alsakaji, H. J. (2021). A fractional-order model with time delay for tuberculosis with endogenous reactivation and exogenous reinfections. *Mathematical Methods in the Applied Sciences*, 44(10), 8011–8025. <https://doi.org/10.1002/MMA.5676>
- Ginting, E., Aldila, D., & Febiriana, I. H. (2024). A deterministic compartment model for analyzing tuberculosis dynamics considering vaccination and reinfection. *Healthcare Analytics*, 5, 100341.
<https://doi.org/10.1016/J.HEALTH.2024.100341>
- Diekmann, O., Heesterbeek, J. A. P., & Metz, J. A. J. (1990). On the definition and the computation of the basic reproduction ratio R_0 in models for infectious diseases in heterogeneous populations. *Journal of Mathematical Biology*, 28(4), 365–382.
<https://doi.org/10.1007/BF00178324/METRICS>
- Driessche, P. Van Den, & Watmough, J. (n.d.). *Reproduction numbers and sub-threshold endemic equilibria for compartmental models of disease transmission*. March 2005, 1–21.
- Jia, Z.-W., Tang, G.-Y., Jin, Z., Dye, C., Vlas, S. J., Li, X.-W., Feng, D., Fang, L.-Q., Zhao, W.-J., & Cao, W.-C. (2008). Modeling the impact of immigration on the epidemiology of tuberculosis. *Elsevier*, 73, 437–448.
<https://doi.org/10.1016/j.tpb.2007.12.007>
- Mengistu, A., & Witbooi, P. J. (2019). Modeling the Effects of Vaccination and Treatment on Tuberculosis Transmission Dynamics. *Journal of Applied Mathematics*, 2019. <https://doi.org/10.1155/2019/7463167>
- Kereyu, D., & Demie, S. (2021). Transmission dynamics model of Tuberculosis with optimal control strategies in Haramaya district, Ethiopia. *Advances in Difference Equations*, 2021(1), 1–22. <https://doi.org/10.1186/S13662-021>
- Khan, M. A., Ahmad, M., Ullah, S., Farooq, M., & Gul, T. (2019). Modeling the transmission dynamics of tuberculosis in Khyber Pakhtunkhwa Pakistan. *Advances in Mechanical Engineering*, 11(6).
<https://doi.org/10.1177/1687814019854835>

- Kucharski, A. J., Russell, T. W., Diamond, C., Liu, Y., Edmunds, J., Funk, S., Eggo, R. M., Sun, F., Jit, M., Munday, J. D., Davies, N., Gimma, A., van Zandvoort, K., Gibbs, H., Hellewell, J., Jarvis, C. I., Clifford, S., Quilty, B. J., Bosse, N. I., ... Flasche, S. (2020). Early dynamics of transmission and control of COVID-19: a mathematical modelling study. *The Lancet Infectious Diseases*, 20(5), 553–558. <https://doi.org/10.1016/S1473>
- Mandal, S., Sarkar, R., & Sinha, S. (2011). Mathematical models of malaria - A review. *Malaria Journal*, 10(1), 1–19. <https://doi.org/10.1186/1475-2875>
- NOORANI, M. S. M. (2012). SEIR MODEL FOR TRANSMISSION OF DENGUE FEVER IN SELANGOR MALAYSIA. *International Journal of Modern Physics: Conference Series*, 9, 380. <https://doi.org/10.1142/S2010194512005454>
- Trauer, J. M., Denholm, J. T., & McBryde, E. S. (2014). Construction of a mathematical model for tuberculosis transmission in highly endemic regions of the Asia-pacific. *Journal of Theoretical Biology*, 358, 74–84. <https://doi.org/10.1016/j.jtbi.2014.05.023>
- Twumasi, C., Asiedu, L., & Nortey, E. N. N. (2019). Markov Chain Modeling of HIV, Tuberculosis, and Hepatitis B Transmission in Ghana. *Interdisciplinary Perspectives on Infectious Diseases*, 2019. <https://doi.org/10.1155/2019/9362492>
- Ucakan, Y., Gulen, S., & Koklu, K. (2021a). Analysing of Tuberculosis in Turkey through SIR, SEIR and BSEIR Mathematical Models. *Mathematical and Computer Modelling of Dynamical Systems*, 27(1), 179–202. <https://doi.org/10.1080/13873954.2021.1881560>
- Ucakan, Y., Gulen, S., & Koklu, K. (2021b). Analysing of Tuberculosis in Turkey through SIR, SEIR and BSEIR Mathematical Models. *Mathematical and Computer Modelling of Dynamical Systems*, 27(1), 179–202. <https://doi.org/10.1080/13873954.2021.1881560>
- Ullah, I., Ahmad, S., & Zahri, M. (2023). Investigation of the effect of awareness and treatment on Tuberculosis infection via a novel epidemic model. *Alexandria Engineering Journal*, 68, 127–139. <https://doi.org/10.1016/j.aej.2022.12.061>
- WAALER, H., GESER, A., & ANDERSEN, S. (1962). The use of mathematical models in the study of the epidemiology of tuberculosis. *American Journal of Public Health and the Nation's Health*, 52(6), 1002–1013. <https://doi.org/10.2105/AJPH.52.6.1002>
- WHO. (2023). *Tuberculosis*. [Link](#)
- WHO. (2024). *Global Tuberculosis Report*. [Link](#)

- Widyaningsih, P., Nugroho, A. A., Saputro, D. R. S., & Sutanto. (2019). Tuberculosis transmission with relapse in Indonesia: susceptible vaccinated infected recovered model. *Journal of Physics: Conference Series*, 1217(1), 012071. <https://doi.org/10.1088/1742>
- Yang, Y., Li, J., Ma, Z., Chaos, L. L., Fractals, S. &, & 2010, undefined. (n.d.). Global stability of two models with incomplete treatment for tuberculosis. *Elsevier Y Yang, J Li, Z Ma, L Liu Chaos, Solitons & Fractals, 2010 • Elsevier*. Retrieved March 6, 2025, from [Link](#)
- Zhao, K., Liu, Z., Guo, C., Xiang, H., Liu, L., & Wang, L. (2025). Modeling and analysis of transmission dynamics of tuberculosis with preventive treatment and vaccination strategies in China. *Applied Mathematical Modelling*, 138, 115779. <https://doi.org/10.1016/J.APM.2024.115779>
- Zhao, Y., Li, M., & Yuan, S. (2017). Analysis of transmission and control of tuberculosis in Mainland China, 2005-2016, based on the age-structure mathematical model. *International Journal of Environmental Research and Public Health*, 14(10). <https://doi.org/10.3390/ijerph14101192>